

Санкт-Петербургский государственный университет  
Математико-механический факультет  
Кафедра системного программирования

---

**Проверка эквивалентности срединной и линейной  
осей многоугольника**

**Дипломная работа студента 545 группы  
Подколзина Максима Валериевича**

Научный руководитель:  
к.ф.м.н., доцент ...../К. В. ВЯТКИНА/

Рецензент:  
д.ф.м.н., профессор ...../О. Н. ГРАНИЧИН/

„Допустить к защите“  
Заведующий кафедрой:  
д.ф.м.н., профессор ...../А. Н. ТЕРЕХОВ/

Санкт-Петербург  
2008 г.

## Содержание

1	Введение	2
2	Основные определения и постановка задачи	3
3	Пример многоугольника и линейной оси, не являющейся $\varepsilon$ -эквивалентной срединной оси	6
4	Понятие сильной эквивалентности	8
5	Понятие геометрической эквивалентности	9
6	Алгоритм проверки сильной эквивалентности срединной и линейной осей	10
7	Практическая реализация	17
8	Заключение	18

# 1 Введение

В теории распознавания фигур широкое применение получило понятие срединной оси [1]. Срединная ось, состоящая из точек многоугольника, имеющих более одной ближайшей точки на границе многоугольника, является хорошим дескриптором многоугольника, но не очень удобна с точки зрения реализации в программе, потому что состоит из отрезков прямых линий и параболических дуг. Поскольку на практике работать с отрезками гораздо проще, чем с дугами параболы, срединную ось удобно приближать с помощью скелета, содержащего только прямолинейные отрезки, например, с помощью линейной оси.

Линейная ось, предложенная М. Танасе и Р. Велткампом в 2004 году [2], базируется на понятии прямолинейного скелета с использованием скрытых ребер при невыпуклых вершинах. Количество скрытых ребер может варьироваться, приводя к большему или меньшему сходству со срединной осью. Формально, для данного  $\varepsilon > 0$  можно ввести понятие  $\varepsilon$ -эквивалентности между срединной осью и линейной осью.

Приближение срединной оси с помощью линейной может быть использовано для решения многих геометрических задач. Важную роль при этом играет параметр  $\varepsilon$ , который определяет точность аппроксимации, и, следовательно, влияет на качество конечного результата. В разных ситуациях качественный результат может достигаться на сильно отличающихся  $\varepsilon$ , как следствие задать в программе единое значение  $\varepsilon$  для всех входных данных невозможно. Одно из возможных решений – это построение нескольких результатов для различных  $\varepsilon$ , и выбор подходящего, возможно, с подсказками со стороны человека. В том случае, если результат с точки зрения визуального восприятия неудовлетворительный, программа получает инструкцию уменьшить  $\varepsilon$  и построить изображение заново, что требует перестраивания всех объектов, в том числе линейных осей. Однако реально большую часть линейных осей перестраивать не нужно, потому что оси, построенные для старого значения  $\varepsilon$ , часто остаются эквивалентны срединной оси и для нового  $\varepsilon$ . До сих пор оптимизировать переход при изменении  $\varepsilon$  было невозможно, так как не было эффективного метода проверки эквивалентности.

В качестве конкретного примера можно рассмотреть задачу восстановления поверхности по набору срезов. Задача ставится следующим образом: дано множество срезов некоторой поверхности в  $\mathbb{R}^3$  горизонтальными плоскостями. Требуется построить триангулированную кусочно-линейную поверхность, близкую к исходной.

Одно из решений этой задачи требует построения линейных осей как промежуточных объектов при триангуляции, причем число линейных осей по порядку величины может быть кубическим относительно числа срезов. Но наличие в многоугольниках-контурах вершин с внутренним углом, близким к  $2\pi$ , может стать причиной ухудшения качества поверхности. В этой задаче с использованием алгоритма проверки эквивалентности можно было бы существенно оптимизировать переход к другому  $\varepsilon$ , если перестраивать только те линейные оси, которые окажутся неэквивалентными с новым  $\varepsilon$ .

Понятие  $\varepsilon$ -эквивалентности – не единственный подход для оценки сходства срединной и линейной осей. Цели данной работы – провести исследование различных типов эквивалентностей осей и разработать алгоритм проверки эквивалентности для данного  $\varepsilon$ , данного многоугольника, данных линейной и срединной осей.

Мы введем определение сильной эквивалентности, покажем, что результаты, доказанные ранее для обычной  $\varepsilon$ -эквивалентности, справедливы и для нового определения, и предложим эффективный алгоритм проверки сильной эквивалентности. Также мы рассмотрим понятие геометрической эквивалентности, классифицируем данный тип эквивалентности относительно других типов, и опишем алгоритм его проверки.

## 2 Основные определения и постановка задачи

Для начала, дадим определения базовым понятиям. Большая часть терминологии взята из [3].

**Определение 2.0.1.** Пусть  $P$  - произвольный многоугольник. *Срединной осью*  $M(P)$  назовем множество центров кругов, целиком лежащих внутри  $P$  и касающихся границы  $P$  по крайней мере в двух точках.

Иначе: это множество точек, которые имеют больше одной ближайшей точки на границе  $P$ . Соответствующие ближайшие стороны или вершины  $P$  называются *сайтами*, порождающими данную точку.

**Определение 2.0.2.** Области, на которые  $M(P)$  разбивает многоугольник, называются *ячейками* срединной оси.

С процессом построения срединной оси тесно связано понятие равномерного фронта.

**Определение 2.0.3.** *Равномерным фронтом*  $U(d)$  для многоугольника  $P$  и расстояния  $d$  является множество точек внутри  $P$ , находящихся на расстоянии  $d$  от границы  $P$ .

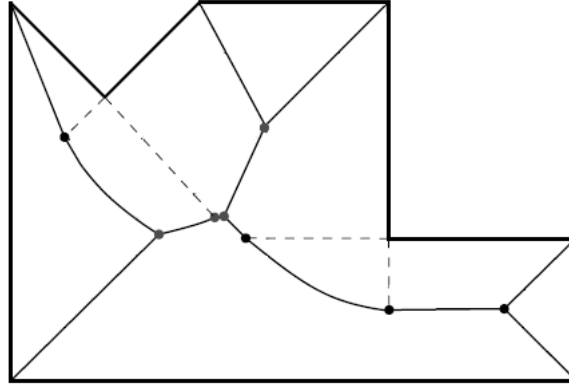


Рис. 1. Пример срединной оси многоугольника.

В общем случае, срединная ось состоит из отрезков прямых линий и параболических дуг (рис. 1). Причиной появления параболических дуг является тот факт, что геометрическое место точек, равноудаленных от данной точки и данной прямой - парабола. В нашем случае точкой является невыпуклая вершина многоугольника, а отрезок прямой - сторона многоугольника. Линейная ось, в отличие от срединной оси, состоит только из прямолинейных отрезков.

**Определение 2.0.4.** Пусть  $\{v_1, \dots, v_m\}$  - невыпуклые вершины многоугольника  $P$ , пусть  $k = (k_1, \dots, k_m)$  - набор неотрицательных целых чисел. Заменим каждую вершину  $v_i$   $k_i + 1$  совпадающей вершиной, соединенными  $k_i$  ребрами нулевой длины. Выберем направления ребер таким образом, чтобы внутренние углы при каждой из  $k_i + 1$  вершин были одинаковыми. Обозначим полученный многоугольник  $P^k$ . *Линейной осью*  $L^k(P)$ , соответствующей набору  $k$ , назовем граф, ребра которого вычерчиваются выпуклыми вершинами при распространении линейного фронта<sup>1</sup>  $P^k$ .

Дополнительные ребра, добавленные в невыпуклые вершины, называются *скрытыми*.

На рис. 2 изображена линейная ось для набора  $k = (1, 1)$ . Обратим внимание, что след выпуклых вершин при распространении линейного фронта входит в линейную ось, а след скрытых вершин (изображен пунктиром) - нет. Также в линейную ось не входит след невыпуклых вершин многоугольника и линейного фронта.

<sup>1</sup>Процесс распространения линейного фронта - это процесс, при котором все ребра многоугольника движутся внутрь с постоянными скоростями, оставаясь при этом параллельными себе.

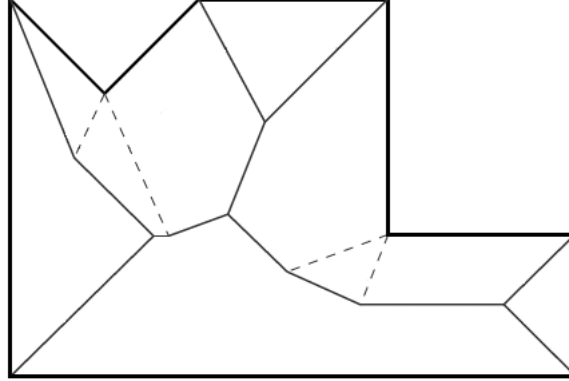


Рис. 2. Пример линейной оси многоугольника.

Добавим, что линейная ось не обязательно связна, если по крайней мере два из внутренних углов многоугольника больше  $\frac{3\pi}{2}$ , и в них добавлено 0 скрытых ребер. Для того, чтобы не допускать такой ситуации, мы всегда будем полагать, что при невыпуклых вершинах с углом больше  $\frac{3\pi}{2}$  есть по крайней мере одно скрытое ребро. В таких условиях линейная ось всегда связна [2].

С увеличением числа скрытых ребер линейная ось все лучше приближает срединную ось. Введем строгое понятие  $\varepsilon$ -эквивалентности между линейной и срединной осями, для чего нам понадобится ряд дополнительных определений.

**Определение 2.0.5.** *Геометрическим графом*  $G$  называется пара множеств  $(V, E)$ , где  $V$  - конечное множество точек в  $\mathbb{R}^2$ ,  $E$  - конечное множество непересекающихся во внутренних точках простых кривых. Элементы множества  $V$  называются *вершинами*, элементы  $E$  - *ребрами* графа. Каждое ребро должно соединять две вершины.

Любой срединной оси, как и линейной, можно сопоставить геометрический граф этой оси: множество вершин  $V$  - это вершины оси либо степени 1 (они соответствуют выпуклым вершинам многоугольника), либо степени  $\geq 3$ , множество ребер  $E$  - непрерывные кусочно-гладкие кривые, их соединяющие. Для удобства изложения мы будем отождествлять выпуклые вершины многоугольника и соответствующие им вершины графа, хотя формально это разные объекты.

Для фиксированного многоугольника  $P$  обозначим через  $G_M = (V_M, E_M)$  геометрический граф срединной оси,  $G_{L^k} = (V_{L^k}, E_{L^k})$  - геометрический граф линейной оси. В данной работе мы будем рассматривать только такие графы, вершины которых имеют степень 1 или 3. В случае когда вершина будет иметь степень  $d > 3$ , будем ее рассматривать как  $d - 2$  совпадающие вершины степени 3, соединенные ребрами таким образом, чтобы граф, индуцированный этими вершинами, был деревом. Такая трактовка очень удобна, так как в этом случае  $|V_M| = |V_{L^k}|$  [5].

В следующих определениях  $\varepsilon$  - произвольное вещественное число больше 0.

**Определение 2.0.6.** Пусть  $u$  и  $v$  - вершины срединной оси, соединенные ребром  $e$ , пусть  $S_1, S_2, S_3$  и  $S'_1, S'_2$  и  $S'_3$  - порождающие их сайты. Ребро  $e$  называется  $\varepsilon$ -*коротким* тогда и только тогда, когда  $d(u, S'_3) < (1 + \varepsilon)d(u, S_3)$  или  $d(v, S_3) < (1 + \varepsilon)d(u, S'_3)$ .

**Определение 2.0.7.** Ребро, не являющееся  $\varepsilon$ -коротким, называется  $\varepsilon$ -*длинным*.

**Определение 2.0.8.**  $\varepsilon$ -*кластером*  $C(v)$  назовем множество вершин, достижимых из  $v$  по  $\varepsilon$ -коротким ребрам.

Введенные определения расширяются естественным образом на геометрический граф срединной оси. Именно, назовем ребро  $e \in E_M$   $\varepsilon$ -коротким, если составляющие  $e$  ребра срединной оси являются

$\varepsilon$ -короткими. Определения  $\varepsilon$ -длинного ребра и  $\varepsilon$ -кластера  $G_M$  аналогичны 2.0.7 и 2.0.8. В дальнейшем, мы будем не оговариваясь использовать понятия  $C(v)$  для  $v \in V_M$  и  $\varepsilon$ -длинного или  $\varepsilon$ -короткого ребра  $e$  для  $e \in E_M$ .

Таким образом, все вершины  $V_M$  разбиваются на классы эквивалентности, которые мы называем  $\varepsilon$ -кластерами. Для данного многоугольника таких разбиений может быть много, в зависимости от  $\varepsilon$ . Пример геометрического графа срединной оси с одним из вариантов разбиения на  $\varepsilon$ -кластеры изображен на рис. 3.

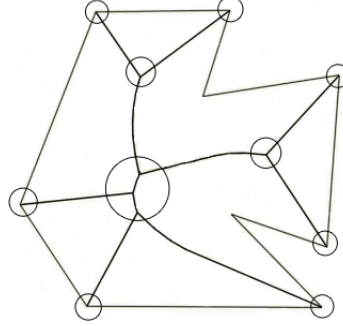


Рис. 3. Пример геометрического графа срединной оси и разбиения на  $\varepsilon$ -кластеры.

Обратим внимание, что для выпуклых вершин  $p$  соответствующий  $\varepsilon$ -кластер всегда состоит из одной  $p$ .

**Определение 2.0.9.** Будем говорить, что срединная ось  $M(P)$   $\varepsilon$ -эквивалентна линейной оси  $L^k(P)$ , если существует биекция  $f : V_M \rightarrow V_{L^k}$ , такая что

1.  $f(p) = p$  для всех выпуклых вершин  $p$ ;
2. для любых  $u, v \in V_M$ , таких что  $C(u) \neq C(v)$ , существует ребро в  $E_M$ , соединяющее  $u$  и  $v$ , тогда и только тогда, когда существует ребро в  $E_{L^k}$ , соединяющее  $f(u')$  и  $f(v')$ , где  $u' \in C(u)$ ,  $v' \in C(v)$ .

По смыслу это означает, что при склеивании вершин каждого  $\varepsilon$ -кластера в одну, а также аналогичном склеивании вершин  $V_{L^k}$ , мы получаем изоморфные графы. Очевидно, что изоморфизм исходных геометрических графов является более сильным свойством, из которого автоматически следует  $\varepsilon$ -эквивалентность, но на практике это свойство не всегда выполняется. В этом случае проверка  $\varepsilon$ -эквивалентности сводится к поиску подходящего отображения между геометрическими графами, что в общем случае является непростой задачей (она может оказаться  $NP$ -трудной задачей).

Тривиальный алгоритм перебора всех отображений, очевидно, является экспоненциальным по времени, так как общее число отображений между графами с  $n$  вершинами равно  $n!$ . Даже если учесть, что для выпуклых вершин перебор не требуется, число оставшихся вершин  $k = O(n)$  ( $k = \frac{n-2}{2}$ , если быть точным), следовательно, число отображений все равно не является полиномиальным.

Поскольку  $\varepsilon$ -эквивалентность – не единственный возможный способ оценки степени сходства осей, представляет интерес рассмотрение других подходов, для которых проверка может быть выполнена за полиномиальное время. В данной работе мы ставим задачу исследования различных типов эквивалентности, их классификации, а также разработки эффективных алгоритмов проверки различных типов эквивалентности, применимых к широкому классу многоугольников.

Нас будут интересовать простые многоугольники. Поэтому здесь же упомянем еще один полезный факт, связанный с ними.

**Теорема 2.0.10.** Если  $P$  - простой многоугольник, то  $G_M$  и  $G_{L^k}$  - деревья.

### 3 Пример многоугольника и линейной оси, не являющейся $\varepsilon$ -эквивалентной срединной оси

В этом параграфе мы приведем пример ситуации, при которой линейная и срединная оси не  $\varepsilon$ -эквивалентны.

Мы будем рассматривать  $\varepsilon \in (0, \frac{2}{\sqrt{3}} - 1)$ , в дальнейшем покажем, почему верхняя граница на  $\varepsilon$  именно такая. Наша задача – построить многоугольник и указать линейную ось, которая была бы не  $\varepsilon$ -эквивалентна срединной оси.

Решение будем искать среди пятиугольников, симметричных относительно вертикальной оси, один из внутренних углов которого невыпуклый, а остальные - меньше  $\frac{\pi}{2}$ . Пример такого многоугольника изображен на рис. 4.

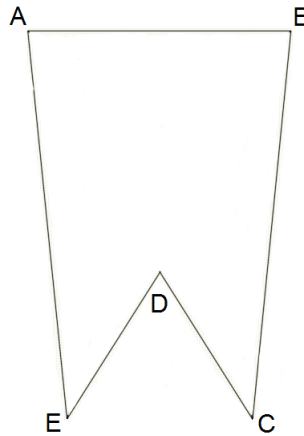


Рис. 4. Симметричный многоугольник, угол при вершине  $D$  невыпуклый.

В качестве  $k$  возьмем набор (2), то есть поместим в вершину  $D$  два скрытых ребра. На рис. 5 показаны срединная ось  $M$  (а) и линейная ось  $L^k$  (б).

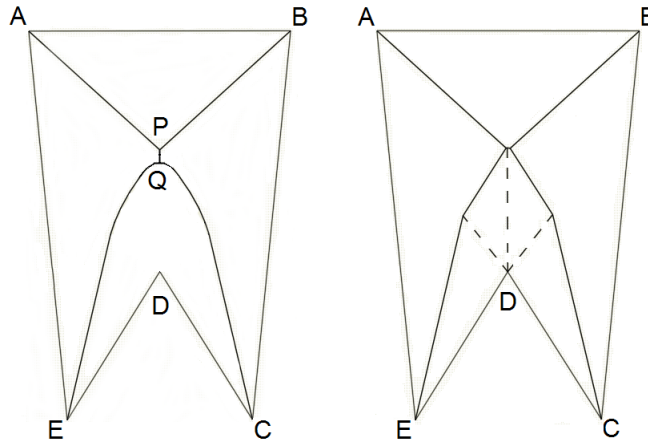


Рис. 5. (а) Срединная ось  $M$  и (б) линейная ось  $L^k$  при  $k = (2)$ .

Введем следующие обозначения: обозначим через  $P$  и  $Q$  вершины  $G_M$ , находящиеся внутри многоугольника; расстояние от  $P$  до  $AB$  обозначим через  $r_1$ , очевидно, расстояния от  $P$  до  $AE$  и  $BC$  будут также равны  $r_1$ ;  $|QD|$  обозначим через  $r_2$ , очевидно, расстояния от  $Q$  до  $AE$  и  $BC$

будут также равны  $r_2$ ; расстояние между  $P$  и  $Q$  обозначим  $a$ ; внешний угол при вершине  $D$  через  $\phi$ . Также обозначим внутренний угол при вершине  $A$  через  $\alpha$ . Так как он меньше  $\frac{\pi}{2}$ ,  $\alpha = \frac{\pi}{2} - \delta$ , где  $\delta = \frac{\pi}{2} - \alpha > 0$ .

Для начала предположим, что многоугольник построен, и проанализируем срединную ось  $M$ .

Первое замечание: для того чтобы вершины срединной оси  $P$  и  $Q$  попали в разные  $\varepsilon$ -кластеры, достаточно, чтобы  $\frac{r_2+a}{r_1} \geq 1 + \varepsilon$ . Действительно, по определению это условие эквивалентно выполнению двух неравенств:  $\frac{r_2+a}{r_1} \geq 1 + \varepsilon$  и  $\frac{r_1+a}{r_2} \geq 1 + \varepsilon$ , но второе автоматически следует из первого, потому что  $r_1 > r_2$ .

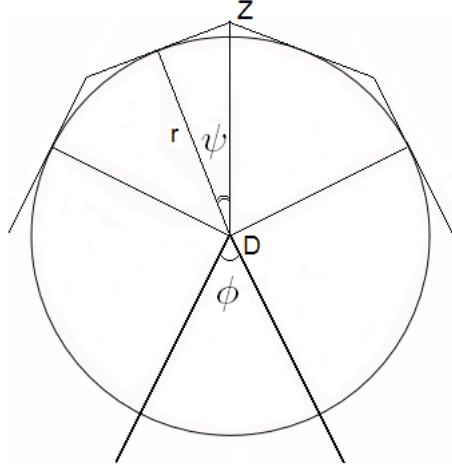


Рис. 6. Распространение линейного и равномерного фронтов вблизи вершины  $D$ .

Далее, рассмотрим насколько медленнее распространяется равномерный фронт, чем самая быстрая из точек в линейном фронте. Эта точка всегда является одной из скрытых вершин, обозначим ее через  $Z$  (рис. 6). В момент времени  $t$   $\frac{r}{|DZ|} = \cos\psi$ , а  $\psi = \frac{\pi-\phi}{6}$ . Таким образом,  $|DZ| = \frac{r}{\cos(\frac{\pi-\phi}{6})}$ .

Для достижения нашей цели, необходимо выполнение следующих условий: чтобы точки  $P$  и  $Q$  попали в разные кластеры, для чего достаточно  $\frac{r_2+a}{r_1} \geq 1 + \varepsilon$ , и чтобы линейный фронт, а именно точка  $Z$ , достигла точки  $P$  до того, как ее достигнет равномерный фронт. Последнее означает, что  $\frac{r_1}{\cos(\frac{\pi-\phi}{6})} > a + r_2$ . В нашей власти менять  $\phi$  произвольно от 0 до  $\pi$ , а наибольшего значения эта дробь достигает при  $\phi = 0$ , косинус при этом равен  $\frac{\sqrt{3}}{2}$ . Не теряя общности положим  $r_1 = 1$ , и тогда это условие будет гарантированно выполнено, если  $a < \frac{1}{\cos(\frac{\pi-\phi}{6})} - 1$ .

Собственно, построение: выберем  $a$  - произвольное число от  $\varepsilon$  до  $\frac{2}{\sqrt{3}} - 1$ . Далее, можно установить угол при вершине  $A$ , и соответственно при вершине  $B$ , настолько большим, чтобы в точке  $Q$  расстояние до сторон  $r_2$  было бы близко к  $r_1$ . Строго говоря, нам нужно, чтобы  $r_2 \geq 1 + \varepsilon - a$ . Это возможно, потому что правая часть меньше 1.

Итак, построим отрезок  $AB$  и отложим от вершин  $A$  и  $B$  лучи под выбранными углами. Пусть  $P$  - центр окружности, касающейся лучей и  $AB$ . Отметим вершину  $Q$  на расстоянии  $a$  от  $P$  и вершину  $D$  на расстоянии  $r_2$  от  $Q$ . Заметим, что у нас еще свобода в расстановке вершин  $C$  и  $E$ , что означает, что мы можем установить любой сколь угодно малый угол  $\phi$ . Выберем его так, чтобы  $a < \frac{1}{\cos(\frac{\pi-\phi}{6})} - 1$ , то есть выберем  $\phi < \pi - 6 \cdot \arccos \frac{1}{1+a}$ . Пятиугольник  $ABCDE$  построен, вершины  $P$  и  $Q$  попадают в разные  $\varepsilon$ -кластеры.

Мы имеем два возможных отображения между вершинами геометрических графов  $M$  и  $L^k$ , и, очевидно, ни одно из них не удовлетворяет условию  $\varepsilon$ -эквивалентности.



## 4 Понятие сильной эквивалентности

В этом параграфе мы усилим  $\varepsilon$ -эквивалентность дополнительным условием на биекцию  $f$  и выделим основные свойства нового определения.

**Определение 4.0.11.** Будем говорить, что между срединной осью  $M(P)$  и линейной осью  $L^k(P)$  есть *сильная эквивалентность*, если существует биекция  $f : V_M \rightarrow V_{L^k}$ , удовлетворяющая условиям 1 - 2 определения 2.0.9 и

3. Для любого  $\varepsilon$ -кластера  $C$  подграф  $G_{L^k}$ , состоящий из вершин  $f(C)$  и ребер между ними, связан.

Заметим, что в случае простого многоугольника  $P$ , дополнительное условие можно сформулировать иначе:

**Утверждение 4.0.12.** Пусть  $P$  - простой многоугольник, и для  $f : V_M \rightarrow V_{L^k}$  верны условия 1 - 2 определения 2.0.9. Тогда  $3 \Leftrightarrow 3'$ :

- $3'$ . Для любых двух  $\varepsilon$ -кластеров  $C_1$  и  $C_2$  между  $f(C_1)$  и  $f(C_2)$  существует не более одного ребра.

*Доказательство.* Докажем каждое из следствий.

- $3 \Rightarrow 3'$ . Предположим, что это не так, и между  $f(C_1)$  и  $f(C_2)$  есть по крайней мере два ребра:  $u_i \in f(C_1), u'_i \in f(C_2), (u_i, u'_i) \in E_{L^k}$  для  $i = 1, 2$ . Но в силу связности графов, индуцированных  $f(C_1)$  и  $f(C_2)$ , между  $u_1$  и  $u_2$  есть путь в  $f(C_1)$ , а между  $u'_1$  и  $u'_2$  - в  $f(C_2)$ . Полученный цикл противоречит тому, что  $G_{L^k}$  - дерево (см. теорему 2.0.10).
- $3' \Rightarrow 3$ . Из любого  $\varepsilon$ -кластера  $C$ , такого что  $|C| = l$ , не соответствующего выпуклой вершине, выходит ровно  $l + 2$   $\varepsilon$ -длинных ребра, причем  $\varepsilon$ -кластеры, в которые они ведут, все различны. Предположим, что граф, индуцированный  $f(C)$ , состоит по крайней мере из двух компонент связности. Тогда в графе  $G_{L^k}$  от вершин  $f(C)$  исходит по крайней мере  $l + 4$  ребра, ведущих в вершины, которым соответствуют вершины  $G_M$ , входящие в  $\varepsilon$ -кластеры, отличные от  $C$ . Так как эти  $\varepsilon$ -кластеры должны быть различны, получаем противоречие тому, что оси  $\varepsilon$ -эквивалентны.

□

В работах [3], [5] были доказаны теоремы о достаточных условиях  $\varepsilon$ -эквивалентности. Можно показать, что для отображений  $f$ , которые предлагались в доказательствах, условие 3 имеет место<sup>2</sup>. Следовательно, можно сформулировать аналогичные теоремы применительно к сильной эквивалентности, а также сохраняют силу и алгоритмы нахождения набора  $k$ , достаточного для эквивалентности. Однако вопрос, равносильны ли эти два определения, является открытым.

---

<sup>2</sup>[3], стр. 84. Множество вершин, соответствующих  $\varepsilon$ -кластеру, определяется как класс эквивалентности по отношению  $b_i \simeq b_j \Leftrightarrow$  любое ребро на пути из  $b_i$  в  $b_j$  удовлетворяет определенному условию. Следовательно, этот класс эквивалентности связан в  $L^k$ .

[5], стр. 129. Связность двойственного кластера напрямую следует из Леммы 14.

## 5 Понятие геометрической эквивалентности

Ниже мы предложим еще один тип эквивалентности осей, основанный на геометрическом расположении вершин  $G_M$  и  $G_{L^k}$ . Мы дадим формальное определение геометрической эквивалентности, а также классифицируем этот тип эквивалентности относительно сильной и  $\varepsilon$ -эквивалентности. Тем самым мы обоснуем иерархию рассмотренных типов эквивалентности.

Прежде всего, мы введем еще несколько определений, заимствованных из [4].

**Определение 5.0.13.** Пусть  $VC(S_1)$  и  $VC(S_2)$  - ячейки срединной оси, соответствующие сайтам  $S_1$  и  $S_2$ ,  $(u, v)$  - ребро, образованное пересечением границ  $VC(S_1)$  и  $VC(S_2)$ . *Барьером* для ребра  $(u, v)$  будем называть пару отрезков, соединяющих некоторую точку  $b$  на этом ребре с ближайшими точками на  $S_1$  и  $S_2$ . Точку  $b$  будем называть центром барьера (рис. 7а)<sup>3</sup>.

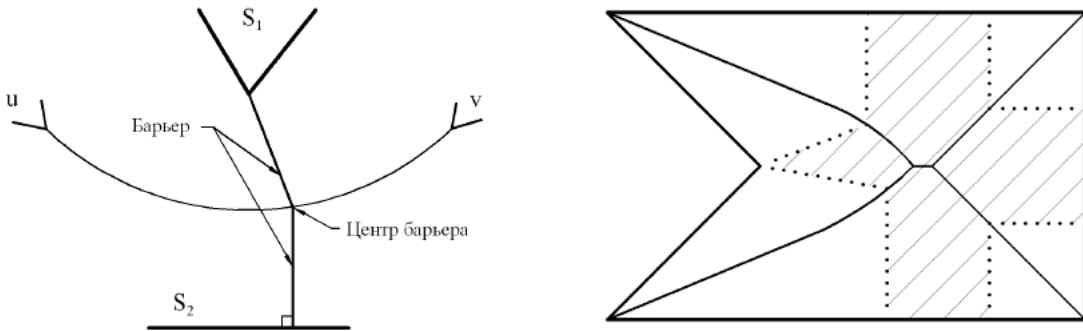


Рис. 7. (а) Барьер для ребра  $(u, v)$ , (б) Преграда для  $\varepsilon$ -кластера из двух вершин.

**Определение 5.0.14.** Преградой для  $\varepsilon$ -кластера  $C$  назовем множество барьеров для всех длинных ребер, имеющих один из своих концов внутри  $C$ , а другой вне  $C$  (рис. 7б).

Обозначим через  $P(C)$  область многоугольника, ограниченную преградой и содержащую кластер  $C$ .

**Утверждение 5.0.15.**  $P(C)$  – связное множество.

**Определение 5.0.16.** Назовем срединную и линейную оси *геометрически эквивалентными*, если найдется набор барьеров для  $\varepsilon$ -длинных ребер  $M(P)$  такой, что каждому  $\varepsilon$ -кластеру  $C = \{v_1, \dots, v_l\} \subset V_M$  можно сопоставить множество вершин  $\{v'_1, \dots, v'_l\} \subset V_{L^k}$ , так что все вершины  $\{v'_1, \dots, v'_l\}$  и соединяющие их ребра будут находиться внутри преграды для кластера  $C$ .

Аналогичный объект уже фактически использовался для доказательства  $\varepsilon$ -эквивалентности [5], однако не выделялся в самостоятельное определение. Нам же в рамках исследования различных подходов к оценке сходства осей удобно рассматривать и его как один из возможных типов эквивалентности.

Как уже было отмечено, из существования геометрической эквивалентности следует  $\varepsilon$ -эквивалентность, и можно показать, что следует также сильная эквивалентность [5]. Таким образом, среди всех рассмотренных в работе подходов самой сильной эквивалентностью является геометрическая, далее сильная эквивалентность и  $\varepsilon$ -эквивалентность. Для первых двух типов ниже представлены алгоритмы, позволяющие по входным графам срединной и линейной осей ответить, являются ли они эквивалентны.

<sup>3</sup>Рисунки барьера и преграды также взяты из [4].

## 6 Алгоритм проверки сильной эквивалентности срединной и линейной осей

В этом параграфе мы представим алгоритм проверки сильной эквивалентности срединной оси  $M(P)$  и линейной оси  $L^k(P)$  для данного  $k$ ,  $\varepsilon > 0$  и простого многоугольника  $P$ .

Мы будем рассматривать только геометрические графы  $G_M$  и  $G_{L^k}$ , а не соответствующие оси, причем, как было упомянуто выше, нам удобнее трактовать каждую вершину степени  $d \geq 4$  как  $(d - 2)$  совпадающие вершины степени 3. Т.е. будем полагать, что на вход алгоритму вместе с  $P$  и  $\varepsilon$  даются геометрические графы  $G_M$  и  $G_{L^k}$ . Иначе, если даны срединная ось и линейная ось, сразу построим  $G_M$  и  $G_{L^k}$  за линейное время и будем работать с ними.

*Замечание 6.0.17.* Задача, рассматриваемая в этом разделе, может быть сформулирована в других терминах как частный случай задачи о совместимости филогенических деревьев [6]: для данных  $m$  филогенических деревьев  $T_1, \dots, T_m$  требуется установить, существует ли такое дерево  $T$ , из которого можно получить каждое дерево  $T_i$  за счет удаления ребер. Доказано, что в общем случае существует решение этой задачи за время  $O(nm)$ . Предложенный нами алгоритм отличается от алгоритма для решения общей задачи, так как в значительной степени использует тот факт, что геометрический граф линейной оси – кубическое дерево, при этом не уступает в эффективности.

**Теорема 6.0.18.** *Для любого  $\varepsilon$  и простого многоугольника  $P$  можно за линейное время и с использованием линейной памяти установить, являются ли  $M(P)$  и  $L^k(P)$  сильно эквивалентными.*

*Доказательство.* Сначала опишем алгоритм проверки сильной эквивалентности для данного  $\varepsilon$  и данных геометрических графов  $G_M$  и  $G_{L^k}$ , затем докажем его корректность и проанализируем время работы и затрачиваемую память.

В реализации воспользуемся объектно-ориентированным подходом. Именно, предположим, что есть тип `Vertex`, который имеет поле `visited` (хранит, была ли вершина посещена), поле `cluster` (ссылка на кластер, содержащий эту вершину), необходимые поля для хранения инцидентных ребер. Заведем также тип `Edge` - ребро в графе, объекты `Edge` будут также иметь поле `visited`. Заведем тип `Cluster` - некоторое множество в графе вершин. Для графа  $G_M$  экземпляр `Cluster` будет хранить  $\varepsilon$ -кластеры, для графа  $G_{L^k}$  - образы  $\varepsilon$ -кластеров при биекции (двойственные кластеры). Также мы будем использовать такие структуры данных:

- Очередь  $Q$  для хранения пар вершин  $(v, v')$ , где  $v \in V_M$ ,  $v' \in V_{L^k}$ .
- Итоговое отображение  $f$ . Для удобства, мы определим его не на множествах вершин, а на множествах кластеров, т.е. если  $C$  -  $\varepsilon$ -кластер, то  $f(C)$  - соответствующий ему двойственный кластер (в программе будем использовать обозначение  $f[C]$ ). В конце алгоритма по  $f$  можно легко восстановить отображение на вершинах  $F$ : для каждого  $\varepsilon$ -кластера  $C$  возьмем произвольную перестановку вершин  $f(C)$  относительно  $C$ , и определим  $F$  на элементах  $C$  согласно этой перестановке.

Изначально очередь  $Q$  пуста, все вершины и ребра непосещены,  $f \equiv null$ , для вершин  $v \in V_M$  присвоим  $v.cluster \leftarrow C(v)$ , для вершин  $v' \in V_{L^k}$  присвоим  $v'.cluster \leftarrow null$ .

Алгоритм будет состоять из нескольких процедур:

1. *Основная функция*  $(G_M, G_{L^k})$  - производит обход в ширину двух графов и возвращает ответ.
2. *Перейти*  $(v, v', u, u')$  - осуществляет переход из вершины  $v$  в  $u$  в графе  $G_M$  и одновременно переход из  $v'$  в  $u'$  в графе  $G_{L^k}$ ; также процедура проверяет, нарушаются ли при переходе условия, накладываемые на  $f$ , и в случае нарушения завершает алгоритм с ответом "нет".

3. *Расширить*( $u$ ) - начиная от  $u$ , проходит по вершинам графа, пока не окажется в непосещенной вершине;

Теперь напишем весь алгоритм на псевдокоде.

Вход: графы  $G_M$  и  $G_{L^k}$ , набор  $\varepsilon$ -кластеров  $G_M$ .

Выход: "нет", если они не являются сильно эквивалентными; "да", если сильно эквивалентны и биекция, удовлетворяющая условиям определения 4.0.11.

**Основная функция** ( $G_M, G_{L^k}$ ) :

1. /\* Инициализация: добавить выпуклые вершины \*/
2. for ( $p_1, p_2$  - соответствуют выпуклым вершинам в  $G_M$  и  $G_{L^k}$ ):
3.   пометить  $p_1, p_2$  как посещенные
4.    $f[p_1.\text{cluster}] \leftarrow \{ p_2 \}$
5.    $Q.\text{push}(p_1, p_2)$    6. /\* Обход в ширину \*/
7. while ( $Q.\text{size}() > 1$ ):
8.    $(v, v') \leftarrow Q.\text{poll}()$
9.   /\* инвариант:  $v$  и  $v'$  будут инцидентны ровно одному непосещенному ребру \*/
10.    $u \leftarrow$  вершина  $G_M$ , такая что ребро  $(v, u)$  не посещено
11.    $u' \leftarrow$  вершина  $G_{L^k}$ , такая что ребро  $(v', u')$  не посещено
12.   Перейти( $v, v', u, u'$ )
13. return  $f$

**Перейти**( $v, v', u, u'$ ) :

1. пометить ребра  $(v, u), (v', u')$  как посещенные
2. if ( $u'.\text{visited}$ ):
3.   /\* При невыполнении условия: ответ "нет"\*/
4.   СНЕЭК( $f[u.\text{cluster}] = u'.\text{cluster}$ )
5. else:
6.   if ( $f[u.\text{cluster}] = \text{null}$ ):
7.     /\* Создаем новый двойственный кластер, состоящий из  $u'$  \*/
8.      $u'.\text{cluster} \leftarrow \{ u' \}$
9.      $f[u.\text{cluster}] \leftarrow u'.\text{cluster}$
10.   else:
11.     /\* Иначе добавляем  $u'$  в уже существующий двойственный кластер \*/
12.      $u'.\text{cluster} \leftarrow f[u.\text{cluster}]$
13.   /\* В этот момент равновесие между кластерами может быть нарушено:
14.     число посещенных вершин в  $u.\text{cluster}$  может быть не равно размеру  $f[u.\text{cluster}]$  \*/
15.   if ( $u.\text{visited}$  and not  $u.\text{cluster.allvisited}$ ):
16.     Расширить( $u$ )
17.   if ( $u'.\text{visited}$  and not  $u'.\text{cluster.allvisited}$ ):
18.      $u'.\text{cluster.add}(\text{Расширить}(u'))$
19.   пометить  $u$  и  $u'$  как посещенные
20.   if (число помеченных ребер, инцидентных  $u.\text{cluster}$ , равно  $u.\text{cluster.size} + 1$ ):
21.     /\* Кластер  $u.\text{cluster}$  обработан - добавляем очередную вершину в  $Q$  \*/
22.     пометить все внутренние ребра в  $u.\text{cluster}$  как посещенные
23.     пометить все внутренние ребра в  $u'.\text{cluster}$  как посещенные
24.      $w \leftarrow$  вершина  $u.\text{cluster}$ , из которой выходит одно непосещенное ребро
25.      $w' \leftarrow$  вершина  $u'.\text{cluster}$ , из которой выходит одно непосещенное ребро
26.      $Q.\text{push}(w, w')$

**Расширить( $u$ ) :**

1. /\*  $u$  будет инцидентно ровно одно непосещенное ребро \*/
2.  $w \leftarrow$  вершина, такая что ребро  $(u, w)$  не посещено
3. пометить ребро  $(u, w)$  как посещенное
4. if (not  $w$ .visited):
5.     пометить  $w$  как посещенную
6.     return  $w$
7. return Расширить( $w$ )

Описание алгоритма закончено. Для доказательства его корректности нам понадобится ряд вспомогательных утверждений. Сначала докажем инварианты, которые использовались в алгоритме.

**Лемма 6.0.19.** Пусть  $u$  - любая вершина  $G_M$ , не совпадающая с выпуклой вершиной. Тогда в тот момент, когда число помеченных  $\varepsilon$ -длинных ребер, инцидентных  $C(u)$ , станет равно  $|C(u)| + 1$ , все вершины  $C(u)$  будут посещены.

*Доказательство.* Разобьем вершины  $C(u)$  на три группы: в  $i$ -ю группу включим такие вершины, которым инцидентно  $i$  посещенных  $\varepsilon$ -длинных ребра. Обозначим количества этих вершин  $k_0$ ,  $k_1$  и  $k_2$  соответственно. Тогда  $l = k_0 + k_1 + k_2$ , где  $l = C(u)$  - размер кластера. С другой стороны, можно посчитать число помеченных ребер, входящих в  $C(u)$ :  $l + 1 = 0 \cdot k_0 + 1 \cdot k_1 + 2 \cdot k_2$ . Отсюда получаем, что  $k_2 = k_0 + 1$ .

Имеем: во-первых, будут посещены  $k_1 + k_2$  вершин, находящихся "на границе"  $C(u)$ . Во-вторых,  $k_2 - 1$  раз будет вызвана функция *Расширить*, в результате которой будет обработано еще  $k_0 = k_2 - 1$  вершин  $C(u)$ . В этот момент станут посещены все  $l$  вершин.  $\square$

Тем самым мы оправдали строки 20-21 функции *Перейти*. Следующая лемма доказывает инвариант, на который мы опирались в строках 9-11 *Основной функции*:

**Лемма 6.0.20.** В  $Q$  попадают только такие пары вершин  $(v, v')$ , кроме последней, что из  $\varepsilon$ -кластера  $C(v)$  выходит ровно одно непосещенное ребро в  $G_M$ , и из двойственного кластера  $f(C(v))$  выходит ровно одно непосещенное ребро в  $G_{L^k}$ .

*Доказательство.* Добавление пар в очередь осуществляется только в двух местах алгоритма - в инициализации и в конце функции *Перейти*. В первом случае условие очевидно, проверим второй.

Для краткости рассмотрим  $\varepsilon$ -кластер  $C(u)$ , рассуждения для  $f(C(u))$  аналогичны. Как следует из предыдущей Леммы, если выполнено условие строки 20 *Перейти*, все вершины кластера обработаны. Рассмотрим все ребра, исходящие из вершин  $C(u)$ . Среди них  $|C(u)| + 2 - \varepsilon$ -длинных, все остальные не выходят за пределы кластера. Следовательно, если пометить все внутренние ребра в  $C(u)$ , непосещенным останется ровно одно  $\varepsilon$ -длинное ребро.

Заметим здесь же, что эти рассуждения доказывают корректность строк 24-25.  $\square$

**Лемма 6.0.21.** После каждого вызова функции *Расширить* имеет место инвариант: каждой посещенной вершине  $\varepsilon$ -кластера инцидентно либо 1, либо 3 помеченных ребра.

*Доказательство.* В тот момент, когда вершина становится посещена, ей, очевидно, инцидентно ровно одно посещенное ребро - то, по которому мы пришли. В тот момент, когда мы приходим в нее повторно, вызывается функция *Расширить* (рис. 8).

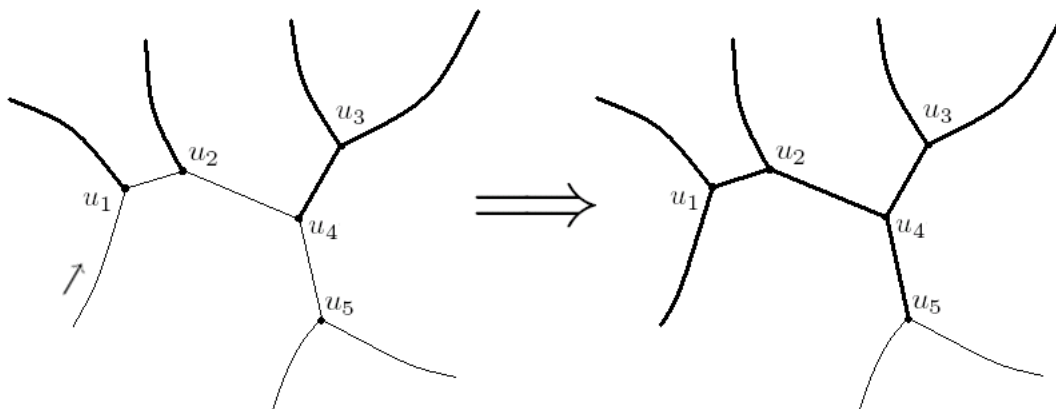


Рис. 8. Пример вызова функции *Расширить*. Вершины  $u_1, \dots, u_5$  лежат в одном  $\varepsilon$ -кластере, посещенные ребра выделены жирными линиями. В результате вызова *Расширить*( $u_1$ ) будут посещены ребра  $(u_1, u_2)$ ,  $(u_2, u_4)$ ,  $(u_4, u_5)$ , и возвращена вершина  $u_5$ .

Следовательно, в момент вызова *Расширить*( $u$ ) вершине  $u$  инцидентно два помеченных ребра. После этого помечается третье ребро  $(u, w)$ , и либо вершине  $w$  инцидентно одно помеченное ребро, в этом случае она возвращается, и либо два, и ситуация повторяется снова. Инвариант сохраняется.  $\square$

**Лемма 6.0.22.** После каждого вызова функции *Расширить* каждой вершине в двойственном кластере  $f(C)$  инцидентно либо 1, либо 3 помеченных ребра.

*Доказательство.* Аналогично предыдущей лемме.  $\square$

**Лемма 6.0.23.** При вызове функции *Расширить*( $u$ ), вершине  $u$  инцидентно ровно 1 непосещенное ребро.

*Доказательство.* Функция *Расширить*( $u$ ) вызывается только тогда, когда мы приходим в  $u$  повторно (строки 15-18 *Перейти*), значит, до вызова функции *Перейти* все три инцидентных ребра не могли быть посещены. Как показано в двух предыдущих леммах, вершине не может быть инцидентно два посещенных ребра. Следовательно, было посещено одно ребро, и перед вызовом *Расширить* их станет два. Соответственно, одно ребро будет непосещено.  $\square$

Следовательно, инвариант в строке 1 *Расширить* выполнен.

Мы доказали, что алгоритм будет работать так, как предписано – все необходимые инварианты имеют место. Однако все еще не ясно, почему корректен возвращаемый результат. Для начала покажем, что в процессе обхода мы посетим все вершины, или алгоритм закончится с ответом "нет".

**Лемма 6.0.24.** После каждого вызова функции *Перейти* имеет место инвариант: число посещенных вершин в кластере  $C$  равно числу вершин в  $f(C)$ .

*Доказательство.* В начале алгоритма инвариант, очевидно, выполнен, так как посещены только выпуклые вершины. Рассмотрим вызов *Перейти*( $u, v, u', v'$ ) и разберем 3 случая:

1. обе вершины  $u$  и  $u'$  не посещены. Тогда инвариант выполнен, так как  $u$  становится посещена, а  $u'$  начинает образовывать новый двойственный кластер, соответствующий  $C(u)$  (строчки 8-9);

2. одна из вершин  $u$  и  $u'$  посещена, а другая нет. Перед вызовом функции *Расширить* равенство может быть нарушено, так как мы повторно пришли в одну из вершин. Однако после этого равенство восстанавливается, так как функция *Расширить* находит новую вершину;
3. случай, когда обе вершины посещены, аналогичен предыдущему пункту.

□

**Следствие 6.0.25.** *После каждого вызова функции Перейти число посещенных вершин в  $G_M$  равно числу посещенных вершин в  $G_{L^k}$ .*

**Лемма 6.0.26.** *При обходе будут посещены все вершины обоих графов, либо алгоритм остановится с ответом "нет".*

*Доказательство.* Обход начинается из выпуклых вершин многоугольника, т.е. листьев  $G_M$  и  $G_{L^k}$ . Рассмотрим стянутый граф  $G_M$  (граф, в котором вершины каждого  $\varepsilon$ -кластера стянуты в одну), и мысленно удалим из него все листья. Так как исходный граф был деревом, полученный граф также является деревом, а в любом дереве существует висящая вершина. Т.е. существует  $\varepsilon$ -кластер  $C$ , у которого все инцидентные ребра, кроме одного, ведут в листья. Эта ровно та ситуация, которая проверяется в строчке 20 функции *Перейти*. Следовательно, одна из вершин  $C$  будет добавлена в очередь, и обход продолжится. Заметим также, что в этот момент все вершины кластера  $C$  уже обработаны.

И так далее, на каждом шаге будет находиться  $\varepsilon$ -кластер, все кроме одного ребра которого посещены, и одна из его вершин будет добавляться в очередь. Поэтому закончится обход только тогда, когда будет обработан последний кластер.

Для окончания доказательства остается воспользоваться только следствием 6.0.25. □

**Лемма 6.0.27.** *Если функция Перейти вызывается от параметров  $(u, v, u', v')$ , то  $(u, v)$  -  $\varepsilon$ -длинное ребро.*

*Доказательство.* Вызов *Перейти* $(u, v, u', v')$  происходит только тогда, когда  $\varepsilon$ -кластер  $C(u)$  полностью обработан, и все его внутренние  $\varepsilon$ -короткие ребра посещены. Следовательно,  $(u, v)$  -  $\varepsilon$ -длинное ребро. □

Наконец, мы готовы доказать корректность алгоритма.

Сначала докажем, что ответ "нет" корректен. В процессе алгоритма мы строим итоговое отображение  $f$ , заданное на  $\varepsilon$ -кластерах  $G_M$ . Покажем, что оно строится однозначным образом. Иными словами, пусть линейная и срединная оси сильно эквивалентны. Существует биекция  $F$ , удовлетворяющая условиям определения 4.0.11. Докажем, что для любого  $\varepsilon$ -кластера  $C$ :  $f(C) = F(C)$ .

Будем действовать по индукции по  $\varepsilon$ -кластерам в порядке их обработки. База индукции: для выпуклых вершин  $p$ :  $f(C(p)) = \{p\} = F(C(p))$ .

Далее, рассмотрим переход по ребрам  $(u, v) \in E_M$  и  $(u', v') \in E_{L^k}$ . По индукционному предположению имеем  $f(C(u)) = F(C(u))$ . Кроме того, аналогичное равенство справедливо для всех кластеров  $C_i$ , инцидентных  $C(u)$  по помеченным ребрам:  $f(C_i) = F(C_i)$ , для  $i = 1, \dots, |C(u)| + 1$ . Как мы доказали ранее, переходы будут осуществляться только по  $\varepsilon$ -длинным ребрам  $(u, v)$ , т.е.  $(u, v)$  - последнее обрабатываемое  $\varepsilon$ -длинное ребро, идущее из  $C(u)$ . А так как  $u' \in F(C(u))$ , по определению сильной эквивалентности отсюда следует, что вершина  $v'$  обязана лежать в  $F(C(v))$ .

Если вершина  $v'$  была посещена, в  $f(C(v))$  может быть добавлен результат функции  $w' = \text{Расширить}(v')$ . Покажем, что  $w'$  также лежит в  $F(C(v))$ . В момент вызова функции *Расширить* вершине  $v'$  инцидентно ровно два посещенных ребра. Пусть  $(v', w'_1)$  - оставшееся непосещенное ребро. Тогда вершина  $w'_1$  должна лежать в том же двойственном кластере, что и  $v'$ , иначе он будет несвязным. Абсолютно аналогично можно рассмотреть и остальные промежуточные вершины на пути от  $v'$  к  $w'$ . Тем самым и  $w'$  лежит в том же двойственном кластере.

Таким образом, в  $f(C(v))$  добавляются только те вершины, которые обязаны лежать в  $F(C(v))$ . Поскольку в конце размеры этих множеств совпадают, имеем  $f(C(v)) = F(C(v))$ . Индукция доказана.

Далее, докажем, что ответ "да" корректен. Действительно, в процессе обхода мы пройдем по всем  $\varepsilon$ -длинным ребрам  $G_M$ . Пусть  $(u, v)$  одно из них, и обработано оно в вызове  $Перейти(u, v, u', v')$ . В том случае, если  $v'$  уже посещена, то есть для нее известен двойственный кластер, в котором она лежит, мы проверяем, не противоречит ли это значению  $f$  (строка 4). Иначе мы либо создаем двойственный кластер  $v'$ , либо добавляем  $v'$  в уже существующий. В обоих случаях накладываемые определением 4.0.11 условия на  $f$  выполнены. Следовательно, ответ "да" корректен.

Анализ времени работы и используемой памяти. Во-первых, мы можем реализовать структуры данных, таким образом, что совершаемые над ними операции будут выполняться за время  $O(1)$ .

- Очередь  $Q$  реализуем через массив фиксированного размера. Тогда операции добавления в конец, взятия первого элемента и удаления первого элемента будут выполняться за константное время.
- Класс Cluster, содержащий множество вершин графа, можно реализовать, используя массив boolean. Тогда, если занумеровать все вершины обоих графов, добавление элемента в множество и проверка его принадлежности будет выполняться за  $O(1)$ .
- Отображение  $f$  реализуем как массив, содержащий ссылки на двойственные кластеры в  $G_{L^k}$ . Для этого мы занумеруем все  $\varepsilon$ -кластеры и все двойственные кластеры.

Далее, рассмотрим все фазы алгоритма.

1. Обработка очереди  $Q$ . Каждая вершина попадает в очередь не более одного раза. Обработка каждой четверки из очереди занимает константное время (не учитывая затраты на функцию *Расширить*), поэтому обход графов занимает линейное время.
2. Вызовы функции *Расширить*. Функция *Расширить* является рекурсивной, но при каждом ее вызове одно из ребер  $E_M$  либо  $E_{L^k}$  становится посещено, поэтому общее число вызовов линейно. Учитывая, что нерекурсивная часть *Расширить* выполняется за константу, имеем, что и общее время работы всех вызовов линейно.

Таким образом, весь алгоритм работает за время  $O(n)$ ,  $n$  - число вершин в многоугольнике. То, что алгоритм требует  $O(n)$  памяти следует из того, что общее число вершин и ребер в обоих графах линейно.

Теорема доказана. □

*Замечание 6.0.28.* Приведенный алгоритм, вместе с некоторыми дополнениями, можно использовать и для проверки геометрической эквивалентности. Действительно, для данных графов срединной и линейной осей запустим алгоритм проверки сильной эквивалентности. Ответ "нет" автоматически влечет отсутствие геометрической эквивалентности, как мы уже отмечали в пятой части.

Предположим, что сильная эквивалентность имеет место. Это означает, что нам известны все двойственные кластеры, соответствующие  $\varepsilon$ -кластерам графа срединной оси. Для достижения геометрической эквивалентности должно быть использовано то же отображение  $f$  (с точностью до перестановок внутри кластера). Зная эту информацию, постараемся проверить, существует ли такой набор барьеров, обеспечивающий геометрическую эквивалентность.

Для каждого  $\varepsilon$ -длинного ребра  $G_M$  заведем *допустимый интервал*, определяющийся парой точек на ребре. Допустимый интервал имеет смысл множества точек ребра, в которых допустимо



иметь центр барьера. Изначально допустимый интервал положим равным всему ребру, в последствии мы будем добавлять на него дополнительные ограничения.

Рассмотрим произвольный  $\varepsilon$ -кластер  $C$  и двойственный кластер  $f(C)$ . Далее, для каждого  $\varepsilon$ -длинного ребра  $e_1$ , инцидентного одной из вершин в  $C$ , и для каждого ребра линейной оси  $e_2 = (u, v)$ , оба конца которого лежат в  $f(C)$ , обновим допустимый интервал  $e_1$ . Для этого рассмотрим точки пересечения пяти отрезков  $-S_1u, S_1v, S_2u, S_2v$  и  $uv$ , с  $e_1$ , где  $S_1$  и  $S_2$  – сайты, порождающие  $uv$ . Под отрезком  $S_iv$  мы будем понимать отрезок, соединяющий  $v$  с ближайшей точкой  $S_i$ .

Тем самым мы определим 5, либо меньше, предельных положений барьера на ребре  $e_1$ . Некоторые из них могут быть вырожденные: такие, при которых ни один двух отрезков, составляющих барьер, не будет пересекать  $e_2$ . Оставшиеся будут добавлять дополнительные ограничения на центр барьера на ребре  $e_1$ , то есть на допустимый интервал.

Оси будут геометрически эквивалентными, если после обработки всех кластеров длина допустимого интервала каждого ребра будет больше 0. В противном случае, ответ "нет".

Оценка времени работы алгоритма: рассмотрим произвольный кластер  $C$ , пусть  $|C| = l$ . Нам известно, что число  $\varepsilon$ -длинных ребер, инцидентных  $C$ , равно  $l + 2 = O(l)$ . Число внутренних ребер графа линейной оси в  $f(C)$  также пропорционально  $l$ , однако каждое из них может содержать порядка  $\max k_j$  ребер оси ( $k$  - вектор скрытых ребер). Поэтому необходимо обработать  $O(l^2 \cdot \max k_j)$  пар ребер, а обработка каждой пары выполняется за  $O(1)$ . Имеем, таким образом, что общее время работы  $T = O(n^2 \cdot \max k_j)$ .

Поскольку на практике число скрытых ребер при каждой вершине невелико (часто не больше 3) [3], время работы можно считать квадратичным. Помимо этого, размер каждого из  $\varepsilon$ -кластеров часто также оказывается ограничен константой. В этом случае алгоритм проверки геометрической эквивалентности линеен и не уступает по эффективности алгоритму проверки сильной эквивалентности. Этот результат можно оформить в виде теоремы:

*Теорема 6.0.29. Пусть  $P$  - простой многоугольник,  $\varepsilon > 0$ ,  $k$  - набор скрытых ребер,  $\max k_j$  не превосходит константы. Тогда проверка геометрической эквивалентности  $M(P)$  и  $L^k(P)$  может быть выполнена за время  $O(n^2)$ .*

*Если при этом размер каждого  $\varepsilon$ -кластера ограничен константой, проверка может быть выполнена за время  $O(n)$ .*

## 7 Практическая реализация

Алгоритм проверки сильной эквивалентности был реализован на языке Java (JDK 1.6). Приложение состоит из следующих компонентов:

1. модель включает набор взаимосвязанных классов:
  - (a) Vertex - хранит список инцидентных ребер и ссылку на содержащий эту вершину кластер,
  - (b) Edge - хранит ссылки на инцидентные вершины,
  - (c) Cluster - хранит список вершин кластера,
  - (d) Graph - хранит список вершин, ребер и кластеров в графе,
  - (e) Input содержит ссылки на два графа - срединной и линейной оси.
2. компонента ввода-вывода состоит из класса InputReader, который считывает данные из входного потока в определенном формате, и возвращает экземпляр Input.
3. центральная компонента - класс Algorithm, реализующий алгоритм, описанный в Теореме 6.0.18.

Для тестирования приложения было подготовлено 11 тестовых случаев.

Также была разработана программа для визуализации алгоритма. Перечислим ее основные компоненты.

1. Для интеграции с алгоритмом реализованы классы-наследники ProxyVertex и ProxyEdge, которые вместе с базовыми операциям Vertex и Edge выполняют регистрацию соответствующих событий; также добавлен класс-фабрика GraphFactory для того, чтобы создавать объекты проху-классов тогда, когда включен режим визуализации.
2. Добавлены классы для каждой сущности, рисуемой на экране: DrawableVertex (вершина), StraightEdge (прямолинейное ребро), ParabolicEdge (параболическое ребро) и др.
3. Классы для хранения и обработки событий: Event, EventBuffer, EventDispatcher.
4. GUI форма VisualFrame для обработки пользовательских событий (реагирование на нажатие клавиши клавиатуры, нажатие на кнопки и др.) и отрисовки осей.

Всего оба приложения включают 25 классов, общий объем кода: 2500 строк.

## 8 Заключение

В результате данной работы было проведено исследование возможных подходов для оценки сходства срединной оси многоугольника и линейной оси. Было введено понятие сильной эквивалентности, для которого сохраняют силу доказанные ранее теоремы о достаточном условии эквивалентности, и применимы алгоритмы нахождения набора скрытых ребер, на которых достигается эквивалентность. Для нового определения был разработан алгоритм проверки эквивалентности, применимый для всех простых многоугольников, и работающий за линейное время и использующий линейную память. Также был рассмотрен подход, основанный на геометрической близости вершин осей. Было доказано, что данный тип эквивалентности является более сильным, чем два других, и что для него также возможна эффективная проверка для данных срединной и линейной осей.

В качестве дальнейшего направления для исследования можно предложить задачу о нахождении оптимального набора скрытых ребер  $k$ , достаточного для сильной эквивалентности. Логичный подход к решению этой задачи заключается в итеративном приближении к ответу. Нам известна оценка сверху и снизу, поэтому применимы методы подбора вектора  $k$ , проверки  $\varepsilon$ -эквивалентности на нем и, в зависимости от результата, сдвиг верхней или нижней границы.

## Список литературы

- [1] Blum, H.: A Transformation for Extracting New Descriptors of Shape, MIT Press, pp. 362-380, 1967.
- [2] Tanase, M., Veltkamp, R.C.: Straight Skeleton Approximating the Medial Axis, Proc. 12th European Symposium on Algorithms, pp. 809–821, 2004
- [3] Tanase, M.: Shape Decomposition and Retrieval. Ph.D. Thesis, Utrecht University, 2005.
- [4] Трофимов, В.: Построение линейной оси произвольного многоугольника, дипломная работа, СПбГУ, 2006.
- [5] Trofimov, V., Vyatkina, K.: Linear Axis for General Polygons: Properties and Computation, Proc. ICCSA'2007, LNCS 4705, Springer-Verlag, pp. 122-135, 2007.
- [6] Warnow T.J.: Tree Compatibility and Inferring Evolutionary History, Journal of Algorithms 16:3, Elsevier, pp. 388-407, 1994.
- [7] Чурин, А.: Программа "Морфинг полигонов", 2007.